

نشریه تحلیل فضایی مخاطرات محیطی، سال سوم، شماره ۱، بهار ۱۳۹۵

صفحات ۱-۱۴

## اثر تغییر اقلیم بر امواج گرمایی سواحل شمالی خلیج فارس

گلاله مولودی، کارشناسی ارشد برنامه ریزی آمایش سرزمین، گروه جغرافیا، دانشکده علوم انسانی، دانشگاه هرمزگان.

اسدالله خورانی<sup>۱</sup>، دانشیار اقلیم شناسی، گروه جغرافیا، دانشکده علوم انسانی، دانشگاه هرمزگان.  
عباس مرادی، استادیار ژئومرفولوژی، گروه جغرافیا، دانشکده علوم انسانی، دانشگاه هرمزگان.

پذیرش نهایی: ۱۳۹۴/۱۲/۲۳

دریافت مقاله: ۱۳۹۴/۰۷/۰۵

### چکیده

هدف از این پژوهش شناسایی امواج گرمایی سواحل شمالی خلیج فارس و مقایسه‌ی شرایط پایه و آینده است. برای نیل به این هدف از آمار روزانه‌ی میانگین دمای بیشینه‌ی ۳۵ سال آماری (از ۱۹۸۰ تا ۲۰۱۴) ایستگاه‌های آبادان، بوشهر، بندرعباس، بندرلنگه و کیش استفاده شده است؛ همچنین برای پیش‌بینی امواج گرمایی در آینده از داده‌های دمای بیشینه‌ی چهار مدل از سری مدل‌های CMIP5 (شامل CMCC-CESM و CSIRO-Mk۳-۶-۰، MPI-ESM-MR، CanESM2 و RCP8.5) طبق

برای دوره ۲۰۴۰ تا ۲۰۷۴ استفاده شده است. برای ریزگردانی خروجی مدل‌های اقلیمی مورد نظر از روش شبکه‌های عصبی مصنوعی و برای شناسایی امواج گرمایی، از شاخص فومیاکی (فوچیه) استفاده شده و با استفاده از برنامه‌نویسی در محیط نرم‌افزار متلب روزهایی را که (دست کم به مدت ۲ روز) دمای آن‌ها بالاتر از  $+2^{\circ}\text{C}$  از انحراف معیار بود به عنوان موج گرمایی شناسایی شدند. نتایج پژوهش نشان می‌دهد که امواج گرمایی کوتاه‌مدت رخداد بیشتری دارند. امواج گرمایی در دوره‌ی پایه دارای روند افزایشی معنی‌دار (بجز ایستگاه بوشهر) اما ضعیف بوده‌اند به‌طوری که فراوانی آن در سال‌های اخیر، بیش‌تر شده است. در دوره‌ی ۲۰۴۰ تا ۲۰۷۴ فراوانی امواج گرمایی دارای روند کاهشی معنی‌دار اما معمولاً با ضرایب تعیین انداک است. هر چند برای ایستگاه کیش در دوره‌ی ۲۰۴۰ تا ۲۰۷۴ فراوانی امواج گرمایی پیش‌بینی شده با چهار مدل، نسبت به دوره‌ی پایه افزایش نشان می‌دهد اما برای بقیه‌ی ایستگاه‌های مورد مطالعه، در دو مدل افزایش و در دو مدل کاهش نشان داده‌اند. با استفاده از آزمون دانکن در سطح  $0.05$ ، مشخص شد که بین امواج گرمایی داده‌های پایه و آینده هیچ‌گونه تفاوت معنی‌داری وجود ندارد.

واژگان کلیدی: تغییر اقلیم، RCP8.5، امواج گرمایی، خلیج فارس

Email: [khoorani@hormozgan.ac.ir](mailto:khoorani@hormozgan.ac.ir)

<sup>۱</sup>- نویسنده مسئول:

## مقدمه

روند گرمایش جهانی، یکی از مهمترین تغییرات آب و هوایی سده کنونی است که پژوهشگران در مقیاس‌های منطقه‌ای و سیاره‌ای به آن پرداخته‌اند (IPCC, ۲۰۰۷:۲۸). به طوری که تغییرات اقلیم و گرمایش جهانی و پیامد آن بر زندگی و فرایند توسعه در جوامع انسانی، به بزرگ‌ترین مسئله جامعه جهانی تبدیل شده است. تغییرات اقلیم باعث فراوانی رخداد پدیده‌های فرین مانند طوفان، سیل، امواج گرمایی<sup>۱</sup>، یخ‌بندان و غیره شده که در این ارتباط نیز مدل‌های اقلیمی افزایش دماهای حدّی را در آینده پیش‌بینی می‌کنند (Raisanen et al, ۲۰۰۴). هیأت بین‌الدول مغاییر اقلیم<sup>۲</sup> سناریوهای مختلفی را برای پیش‌بینی چگونگی ادامه روند افزایش گازهای گلخانه‌ای ارائه کرده است که بر مبنای سناریوهای مختلف، تا پایان قرن ۲۱ میلادی غلظت دی‌اکسیدکربن دو برابر خواهد شد (Grubler, ۲۰۰۷ ; Hoogwijk, ۲۰۰۵). در این خصوص روش‌های مختلفی جهت پیش‌بینی اقلیم آینده وجود دارد که جامع‌ترین آن‌ها مدل‌های گردش عمومی (GCM)<sup>۳</sup> می‌باشند. هدف این مدل‌ها شبیه‌سازی همه ویژگی‌های سه‌بعدی آب و هوا است (Hoogwijk, ۲۰۰۹). مدل‌های گردش عمومی هیچ‌گاه نمی‌توانند مستقیماً برای پیش‌بینی‌های منطقه‌ای استفاده شوند. آن‌ها نیازمند ریزمقیاس‌گردانی<sup>۴</sup> هستند تا با اعمال رفتارهای محلی در آن‌ها پیش‌بینی‌هایی‌شان در مقیاس محلی بهبود یابند. خروجی مدل‌های گردش عمومی را می‌توان به دو صورت دینامیک<sup>۵</sup> و آماری<sup>۶</sup> ریزمقیاس کرد (Murphy, ۱۹۹۹).

موج‌های گرمایی مهم‌ترین بلایای جویی بوده و بررسی میزان مرگ‌ومیر سالانه ناشی از مخاطرات اقلیمی نشان می‌دهد که امواج گرمایی باعث بیش‌ترین میزان مرگ‌ومیر نسبت به دیگر رخدادهای اقلیمی می‌شوند (NOAA, ۲۰۰۷). کاهش پیامدهای ناشی از امواج گرمایی در گرو شناسایی امواج گرمایی، پیش‌بینی آنها، کشف راههایی برای کاهش تأثیرات آزاردهنده آن‌ها بر روی سلامت عمومی و شناسایی مناطق آسیب‌پذیر در ارتباط با امواج گرمایی است (Kovats and Koppe, ۲۰۰۴)؛ بنابراین، امروزه یکی از مهم‌ترین نگرانی‌ها از مخاطرات اقلیمی، رخداد امواج گرمایی است که به‌طور گسترده بر جوامع انسانی تأثیرگذار است. رخداد و شدت موج‌های گرمایی در سال‌های اخیر در بخش‌هایی از جهان افزایش یافته است (Ding, et al, ۲۰۱۰). موج گرمایی فرانسه در تابستان ۲۰۰۳ و همچنین موج گرمای تابستان ۲۰۱۰ قسمت‌های وسیعی از نیمکره‌ی شمالی همچون روسیه، قزاقستان، ایران، چین، شمال آفریقا و بخش‌هایی از اروپا را تحت پوشش خود قرار داد (Schar, et al, ۲۰۰۴). رخداد خشکسالی و آتش‌سوزی در جنگل‌های غرب روسیه و رخداد سیلاب بی‌سابقه در بخش‌های گسترده‌ای از پاکستان را می‌توان از مهم‌ترین پیامدهای موج گرمایی شدید در سال ۲۰۱۰ نام برد (Mokhov, ۲۰۰۹)؛ و یا امواج گرمایی ژوئن ۱۹۹۸ در جنوب شرق آسیا (Kripalani and Kulkarni, ۱۹۹۸) و موج گسترده و شدید ژوئیه ۱۹۹۵ در شیکاگو که باعث مرگ‌ومیر تعداد زیادی از انسان‌ها گردید (Karl and Knigh, ۱۹۹۷). به علت افزایش گرمای جهانی در چند دهه اخیر در زمینه موج گرمایی در شرایط تغییر اقلیم مطالعاتی در نقاط مختلف جهان انجام شده است: رسو<sup>۷</sup> و همکاران در سال ۲۰۱۴ به

۱-Heat wave

۲- Intergovernmental Panel on Climate Change

۳-General Circulation Model

۴-Downscaling

۵-Dynamical Downscaling

۶-Statistical Downscaling

۷- Russo

بررسی مقیاس امواج گرمایی در آب و هوای کنونی و الگوی آن در گرمایش جهانی پرداختند. شدیدترین موج گرمایی که در جهان رخ داده است را در سه مقطع زمانی از ۱۹۸۰ تا ۱۹۹۰، ۱۹۹۱ تا ۲۰۰۱ و از ۲۰۰۲ تا ۲۰۱۲ مورد بررسی قرار دادند؛ و از خروجی‌های مدل‌های ترکیبی چندگانه از مدل پروژه‌های CMIP<sup>۵</sup> تحت RCP<sup>۱</sup>‌های مختلف استفاده کردند. نتایج پژوهش آنها نشان می‌دهد که در دهه‌های اخیر در سطح جهانی مناطق متأثر از امواج گرمایی افزایش یافته است. و در آینده نیز برای مناطقی مانند جنوب اروپا، امریکای شمالی، امریکای جنوبی، افریقا و آندونزی، هر دو سال یک بار امواجی را مشابه با موج گرمایی تابستان ۲۰۱۰ روسیه پیش‌بینی می‌کند (Russos, ۲۰۱۴). در پژوهش دیگری میزان مرگ‌ومیر ناشی از موج گرمایی در کشور کره جنوبی پیش‌بینی شد. در این مطالعه برای استخراج میزان مرگ‌ومیر در اثر امواج گرمایی با استفاده از داده‌های مشاهده‌ای از سال ۱۹۹۴ تا ۲۰۱۲ از روش تجزیه و تحلیل رگرسیونی بر روی داده‌های سری زمانی از RCP<sup>۴.۵</sup> و RCP<sup>۸.۵</sup> تا سال ۲۰۶۰ استفاده شده است. نتایج آن‌ها نشان می‌دهد که میزان مرگ‌ومیر در RCP<sup>۴.۵</sup> حدود ۵ برابر بیشتر و با RCP<sup>۸.۵</sup> میزان ۷/۲ برابر بیشتر از دوره‌ی پایه خواهد شد (Kim et al, ۲۰۱۵). همچنین در پژوهشی دیگر مرگ‌ومیر ناشی از امواج گرمایی در شیکاگو مورد بررسی قرار گرفت. نتایج این تحقیق نشان می‌دهد اگر موج گرمایی مشابه موج گرمایی ۲۰۰۳ اروپا در سال‌های آینده در شیکاگو رخ دهد فقط در چند هفته میزان مرگ‌ومیر سالانه‌ی ناشی از گرما به بیش از ده برابر می‌رسد (Hayhoe et al, ۲۰۱۰). در ایران شرایط بسیار حساس و شکننده است زیرا که اکثر مناطق ایران بخصوص مناطق جنوب آن طبیعتی ذاتاً خشک دارند، بنابراین گسترش امواج گرما، تداوم خشکسالی‌ها را در اکثر مناطق شدت بخشدیده و پیامدهای ناگواری را ایجاد خواهد نمود. در زمینه موج گرمایی در ایران مطالعات کمی صورت گرفته است. اسمعیل نژاد و همکاران (۱۳۹۲) با روش فومنیکی به شناسایی امواج گرمایی پرداختند نتایج پژوهش آنان نشان داد که موج گرمایی کوتاه‌مدت رخداد بیشتری داشته است. در شمال و شمال غرب، مرکز ایران و سواحل جنوبی رخداد موج گرما بیشتر بوده است. همچنین امواج گرما در دوره آماری روند افزایشی داشته و در سال‌های اخیر، پر رخداد تر بوده‌اند (اسمعیل نژاد و همکاران، ۱۳۹۲).

این مطالعه با هدف استخراج و تحلیل تغییرات امواج گرمایی هم در دوره پایه و هم برای آینده (۲۰۴۰ تا ۲۰۷۴) در سواحل شمالی خلیج فارس با استفاده از سری مدل‌های پروژه CMIP<sup>۵</sup> و سناریو RCP<sup>۸.۵</sup> انجام شده است.

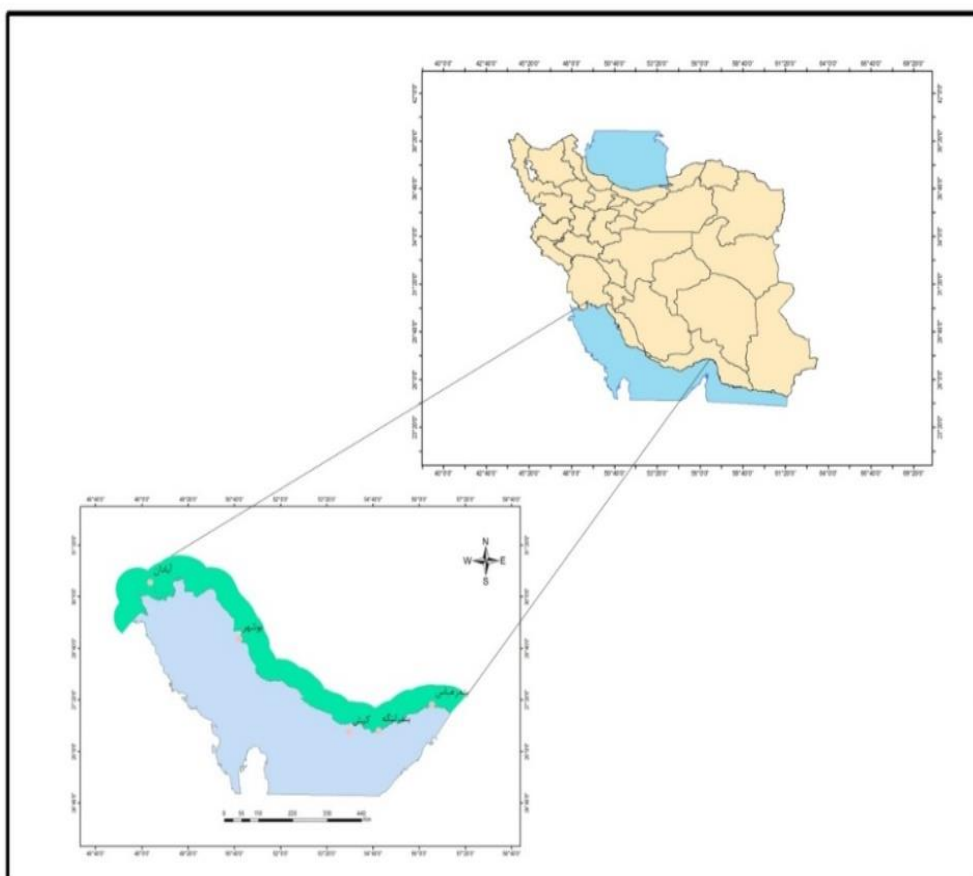
### داده‌ها و روش کار

ایستگاه‌های مورد مطالعه در این پژوهش در محدوده عرض جغرافیایی ۲۶ تا ۳۰ و طول جغرافیایی از ۴۸ درجه تا ۵۶ درجه واقع شده است. نوار ساحلی آن در استان‌های هرمزگان، بوشهر و خوزستان قرار دارد و ایستگاه‌های سینوپتیکی انتخاب شده این محدوده شامل ایستگاه‌های کیش، بندرعباس، بندرلنگه، بوشهر و آبدان می‌باشد.

<sup>۱</sup> -Representative Concentration Pathways

جدول ۱: مختصات جغرافیایی ایستگاه‌های مورد مطالعه

کیش	بندرلنگه	بندرعباس	بوشهر	آبادان	ایستگاه مختصات
۲۶°۲۹' N	۲۶°۳۵' N	۲۷°۱۵' N	۲۸°۵۵' N	۳۰°۲۲' N	عرض جغرافیایی
۵۲°۵۴' E	۵۴°۵۸' E	۵۶°۱۵' E	۵۰°۵۳' E	۴۸°۲۰' E	طول جغرافیایی
۳۰	۲۲/۷	۱۰	۹	۶/۶	ارتفاع (متر)



شکل ۱: موقعیت ایستگاه‌های مورد مطالعه

داده‌های مورد استفاده برای دوره‌ی پایه از سال ۱۹۸۰ تا ۲۰۱۴ و برای داده‌های آینده دوره زمانی ۲۰۷۴ تا ۲۰۴۰ می‌باشد. در این پژوهش برای داده‌های آینده از ۴ مدل اقلیمی از پروژه CMIP5 با RCP8.5 استفاده شده که در جدول (۲) آورده شده است. انتخاب RCP8.5 به دلیل مطالعه تغییرات امواج گرمایی در بیشترین شرایط انتشار گازهای گلخانه‌ای و گرمایش ناشی از آنها بوده است.

جدول ۲: مدل‌های اقلیمی مورد بررسی

ردیف	نام مدل به صورت اختصار	نام مرکز مدل‌سازی	کشور
۱	CanESM۲ <sup>۱</sup>	مرکز کانادایی سیستم زمین	کانادا
۲	MPI-ESM-MR <sup>۲</sup>	مؤسسه هواشناسی ماکس پلانگ	آلمان
۳	CSIRO-Mk۳-۶۰. <sup>۳</sup>	سازمان پژوهشی‌های علمی و صنعتی دارای منافع مشترک	استرالیا
۴	CMCC-CESM <sup>۴</sup>	مدل سیستم کربن زمینی	ایتالیا

در این مطالعه جهت ریزگردانی داده‌های اقلیمی از متداول‌ترین نوع شبکه عصبی مصنوعی به نام شبکه پیش‌خورد از نوع پرسپترون چندلایه (MLP's) استفاده شده است. این نوع شبکه دارای پرسپترون چندلایه با یک لایه ورودی، یک لایه مخفی و یک لایه خروجی است. مجموعه داده‌های آموزشی شبکه شامل ۹۴۹۷ زوج داده‌های ورودی و خروجی است که داده‌های ورودی از یک پارامتر تشکیل شده‌اند. این داده‌های آموزش به دو زیر داده‌های آموزش و داده‌های تست تقسیم‌بندی می‌شوند. مطابق جدول (۳) برای آموزش شبکه عصبی مصنوعی، داده‌های آموزش شامل ۷۳٪ و داده‌های تست شامل ۲۷٪ داده‌ها بوده‌اند.

جدول ۳: توزیع داده‌های آموزشی در شبکه عصبی مورد استفاده

تقسیم‌بندی	داده‌های آموزش	داده‌های تست
تعداد	(۰/۷۳)۷۳۰۵	(۰/۲۷)۲۱۹۱
سال	۱۹۸۰ تا ۲۰۰۰	۲۰۰۰ تا ۲۰۰۵

طبق رابطه زیر ریشه میانگین مربعات خطاهای (RMSE) برای خروجی‌های تولید شده شبکه به ازای دو مجموعه تست و آموزش محاسبه شد:

$$RMSE = \sqrt{\frac{1}{N} \sum_{n=1}^N (q_{target}^* - q_{output}^*)^2}$$

که در آن N مجموعه داده‌ها می‌باشد  $q_{target}^*$  مقادیر بی‌بعد در مجموعه هدف بوده و  $q_{output}^*$  مقادیر بی‌بعد محاسبه شده توسط شبکه عصبی می‌باشد (کیانی، ۱۳۸۹: ۶۶-۶۵). برای شناسایی امواج گرمایی در سواحل شمالی خلیج فارس، از داده‌های دمای حداکثر روزانه از سال ۱۹۸۰ تا ۲۰۱۴ و برای سال‌های آینده از داده‌های دمای حداکثر روزانه برای سال‌های ۲۰۴۰ تا ۲۰۷۴ با استفاده از شاخص بهنجار شده‌ی دما (فومیاکی) استفاده شده است که با استفاده از این شاخص می‌توان دماهای فرین گرم را شناسایی کرد (Fujibe and et al, ۲۰۰۷: ۶۵). مسعودیان و دارند، ۱۳۹۰ و اسمعیل نژاد، ۱۳۹۲ برای محاسبه این نمایه

<sup>۱۰</sup>- Canadian Earth System Model<sup>۱۱</sup>- Max-Planck-Institut für Meteorologie<sup>۱۲</sup>- Commonwealth Scientific and Industrial Research Organization<sup>۱۳</sup>- CMCC Carbon Earth System Model

نخست میانگین بلندمدت دما برای هریک از روزهای سال محاسبه شده تا انحراف دمای هر روز خاص نسبت به میانگین بلندمدت مبنای داوری درباره گرمی آن روز قرار گیرد. میانگین بلندمدت دماهای هر روز با رابطه زیر به دست می‌آید:

$$T(i,j) = \sum_{n=1980}^{2014} T(i,j,n)/N \quad \text{رابطه (۱)}$$

در این رابطه  $i$  دمای روز  $\mathbb{Z}$ ام و سال  $N$  است. جهت محاسبه میانگین روزانه هر کدام از روزهای مورد نظر در ماه بخصوص، از مقادیر ۳۵ روز مربوط به ۳۵ سال میانگین گرفته شد. برای از بین بردن نویفهای موجود در میانگین بلندمدت، فیلتر میانگین متحرک ۹ روزه سه بار بر روی این داده‌ها اجرا شد. در نتیجه تأثیر عوامل زود گذر محلی بر نوسان دما حذف شد. سپس به کمک رابطه زیر انحراف دما برای هریک از روزهای آماری مورد بررسی نسبت به میانگین بلندمدت محاسبه شد.

$$\Delta T(i,j,n)=T(i,j,n)-T(i,j) \quad \text{رابطه (۲)}$$

در اینجا  $\Delta T$  انحراف دمای روز  $i$ ام، ماه  $\mathbb{Z}$ ام و سال  $n$  است به میانگین بلندمدت دمای همان روز تقویمی است. شدت انحراف دما یا  $\Delta T$  بستگی به تغییرات روز به روز دما دارد و بر حسب فصل و منطقه متفاوت خواهد بود. برای آن‌که مقادیر انحراف دمای زمان‌های مختلف در یک نقطه جغرافیایی و مکان‌های مختلف در یک زمان معین با یکدیگر قابل مقایسه باشند لازم است این مقادیر مطلق انحراف دما به کمک پراش دما استانداردسازی شوند. همانند تغییرات روز به روز، پراش  $\Delta T$  در ۳۱ روز برای هر روز تقویمی طبق رابطه (۳) به دست می‌آید. سپس میانگین متحرک ۹ روزه سه بار انجام می‌شود (۶۵: Fujibe, and et al, ۲۰۰۷؛ ۱۷۳: ۱۳۹۰ و اسماعیل نژاد، ۱۳۹۲، ۴۳).

$$\text{رابطه (۳)}$$

$$\overline{\sigma^r(i,j)} = \sum_{n=1980}^{2014} \sum_{j=1}^{j+16} [\Delta T(i,j',n) - \Delta T(i,j')]^r \div 31N$$

$$\overline{\sigma^r(i,j)} = \sum_{n=1980}^{2014} \sum_{j=1}^{j+16} [\Delta T(i,j',n) - \Delta T(i,j')]^r \div 31N \quad \text{رابطه (۴)}$$

$$\overline{\Delta T(i,j)} = \sum_{n=1980}^{2014} \sum_{j'=j-16}^{j+16} T(i,j',n) \div 31N$$

$$\overline{\Delta T(i,j)} = \sum_{n=1980}^{2014} \sum_{j'=j-16}^{j+16} T(i,j',n) \div 31N$$

برانجام نمایه فومیاکی یا انحراف دمای نرمال شده (NTD)<sup>۱</sup> از رابطه زیر محاسبه می‌شود:

$$x(i,j,n)=\Delta T(i,j,n) \div \overline{\sigma(i,j)}$$

$$\overline{\sigma(i,j)} = \sqrt{\sigma^r(i,j)}$$

<sup>۱</sup>۴- Normalized Thermal Deviation

بعد از محاسبه شاخص فومیاکی روزهایی که ضریب NTD آن‌ها بالاتر از ۲ بود و حداقل ۲ روز تداوم داشت از ماتریس NTD جدا شد و بنام امواج گرمایی معرفی گردید.

### شرح و تفسیر نتایج

نتایج و اطلاعات مربوط به ریزگردانی داده‌های مدل‌های اقلیمی توسط شبکه عصبی برای هر یک از مدل‌های مورد استفاده در جدول (۴) آورده شده است.

جدول ۴: نتایج ریزگردانی مدل‌های اقلیمی با استفاده از شبکه‌های عصبی مصنوعی

میانگین کلی RMSE	RMSE					تعداد گره		مدل‌های اقلیمی
	کیش	لنگه	بندرعباس	بوشهر	آبادان	تابع خطی	تابع سیگموئید	
۵.۹۷۲۱	۴.۵۲۵۷	۴.۷۲۶۸	۴.۸۵۱۶	۶.۱۳۵۷	۹.۶۲۰۸	۱	۵	CanESM۲
۵.۹۱۰۴	۴.۲۹۰۱	۴.۹۸۶	۳.۹۱۸۴	۷.۰۸۲۸	۹.۲۹۹۸	۱	۵	MPI-ESM-MR
۴.۹۹۴۴	۳.۵۷۲۱	۳.۳۹۱۱	۳.۶۴۱۸	۵.۶۰۴۹	۸.۷۶۲۲	۱	۱۵	CSIRO-MK۳-۶-
۵.۰۱۱۲	۳.۸۵۸۱	۴.۷۲۴۸	۳.۹۲۴۵	۵.۸۴۴۰	۹.۲۰۵۰	۱	۱۰	CMCC-CESM

بیشترین دقّت ریزگردانی مربوط به مدل استرالیایی CSIRO-MK۳-۶-۰ با میزان خطای جذر میانگین مربعات ۴/۹۹ برای همه ایستگاه‌ها (به صورت میانگین)، و کمترین دقّت با میزان ۵/۹۷ مربوط به مدل کانادایی CanESM۲ بوده است.

بیشترین امواج گرمایی استخراج شده برای داده‌های پایه، مربوط به ایستگاه آبادان می‌باشد. شدت امواج گرمایی در سال ۲۰۱۰ بسیار زیاد بوده به طوری که امواج گرمایی تمام ایستگاه‌ها در این سال دارای بیشترین رخداد بوده‌اند. امواج گرمایی داده‌های پایه از نظر آماری بجز برای ایستگاه بوشهر دارای روند افزایشی معنی‌داری (حداقل در سطح ۹۵ درصد) بوده‌اند. اما این روند جز برای بندر لنگه که دارای ضریب تعیین ۰/۵۸ بوده است، برای سایر ایستگاه‌ها، ضعیف و دارای ضریب تعیین کمتر از ۰/۲۳ بوده‌اند. همچنین به طور کلی می‌توان دوره مورد نظر را به دو بخش (۰/۸۰ تا ۱۹۹۷ و دوره بعد از آن) تقسیم کرد (شکل ۲). به گونه‌ای که بر اساس آزمون آماری T مستقل، میانگین رخداد امواج گرمایی برای تمام ایستگاه‌ها در این دو دوره از نظر آماری دارای تفاوت معنی‌داری بوده و این رقم برای دوره اول ۸/۶۵ و برای دوره بعد ۱۴/۹ بوده است. فراوانی ماهانه امواج گرمایی، نشان می‌دهد که فصل تابستان بهویژه ماه‌های تیر و مرداد دارای بیشترین موج گرمایی است. به طور کلی از نظر فصلی امواج گرمایی برای داده‌های پایه دارای شرایطی فصلی بوده و دو بیشینه برای فوریه تا آوریل و ژوئیه تا سپتامبر قابل تشخیص است (شکل ۳). فراوانی امواج گرمایی از ۲ روز تا ۲۹ روز نشان می‌دهد که موج‌های گرمایی کوتاه‌مدت بیشترین فراوانی را دارند.

شکل ۲ سری زمانی امواج گرمایی را برای ایستگاه‌های مورد بررسی، براساس مدل‌های انتخاب شده بر مبنای RCP8.۵، و برای داده‌های پایه نشان می‌دهد. با توجه به مدل CanESM۲ بیشترین فراوانی امواج گرمایی برای دوره

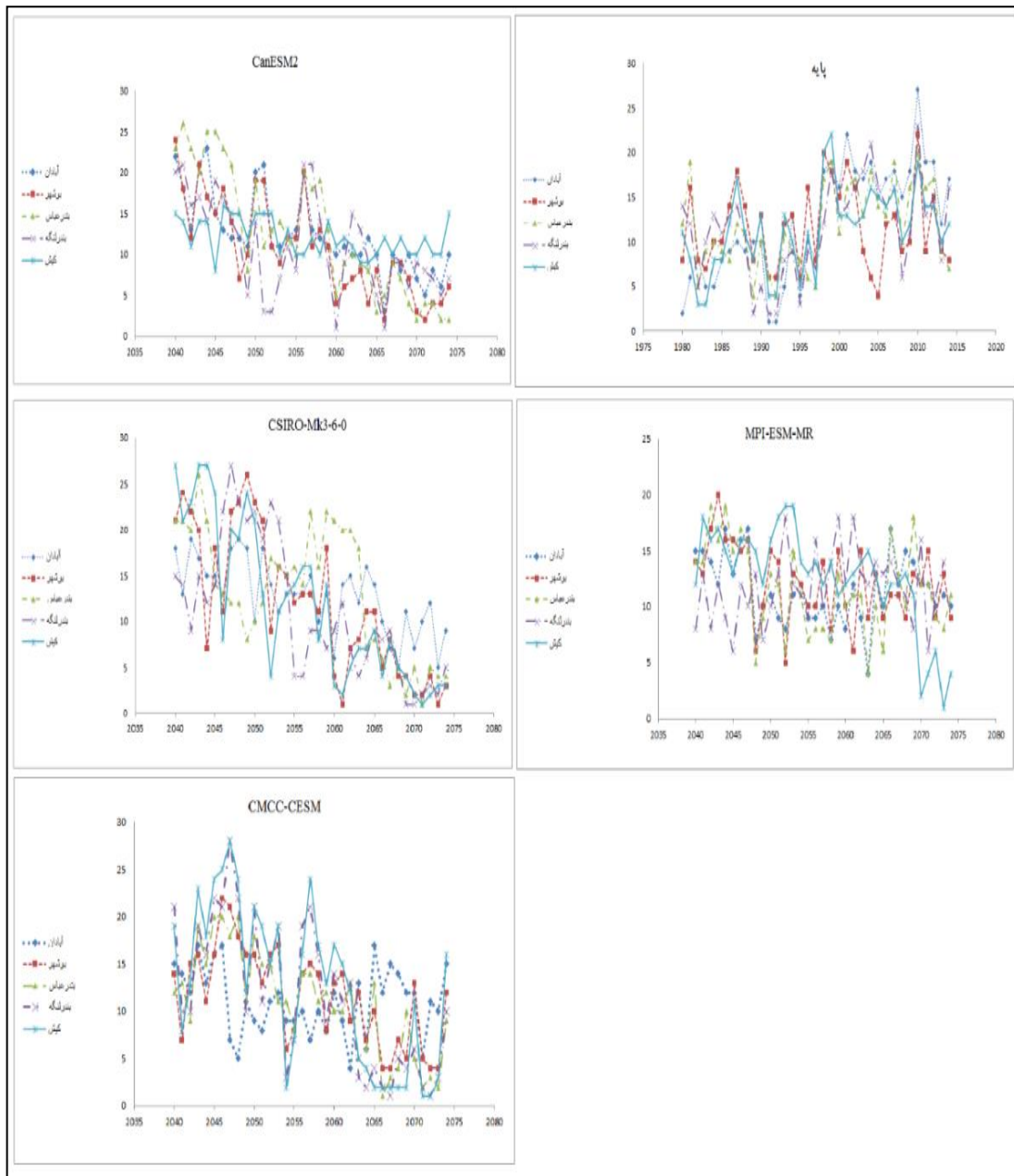
آینده به ترتیب برای ایستگاه‌های بندرعباس، آبدان و کیش و کمترین موج گرمایی را به ترتیب برای ایستگاه‌های بوشهر و بندرلنگه استخراج شده است. براساس پیش‌بینی‌های انجام شده برای ۲۰۴۰ تا ۲۰۷۴ با این مدل سری زمانی فراوانی امواج گرمایی برای تمام ایستگاه‌ها دارای روند کاهشی معنی‌دار خواهد بود. این روند کاهشی در ایستگاه‌های بندرعباس و کیش به ترتیب دارای شدیدترین (۰/۷۸) و ضعیفترین (۰/۲۷) میزان ضربی تعیین است. با وجود کاهشی بودن روندهای استخراج شده، در مجموع فراوانی امواج پیش‌بینی شده با این مدل برای تمام ایستگاه‌ها از امواج استخراج شده برای داده‌های پایه بیشتر است. در مقیاس ماهانه، نیز بیشترین امواج گرمایی برای ماه ژوئیه، استخراج شده است. در این میان بیشترین رخدادها را موج‌های گرمایی کوتاه‌مدت از ۲ تا ۱۱ روز تشکیل داده و موج‌های گرمایی ۲ روزه و ۵ روزه، دارای بیشترین فراوانی هستند.

فراوانی امواج گرمایی پیش‌بینی شده با توجه به مدل MPI-ESM-MR بجز برای ایستگاه بندرلنگه (روند افزایشی غیرمعنی‌دار) برای سایر ایستگاه‌ها دارای روند کاهشی معنی‌دار است. این روندها جز برای ایستگاه کیش (۰/۵۴) دارای ضربی تعیین بسیار ناچیزی (کمتر از ۰/۱۵) هستند. بیشترین موج گرمایی به دست آمده در مدل MPI-ESM-MR برای دوره‌ی آینده، مربوط به ایستگاه‌های کیش و بوشهر و کمترین موج گرمایی مربوط به ایستگاه بندرعباس است. همچنان فراوانی امواج گرمایی پیش‌بینی شده از دوره پایه بیشتر است و بیشترین موج گرمایی استخراج شده در این مدل به ترتیب مربوط به ماه‌های مارس، اوت و ماه ژوئیه و کمترین آن در ماه نوامبر است (شکل ۳). بیشترین رخداد امواج گرمایی در این مدل را موج‌های گرمایی کوتاه‌مدت تشکیل می‌دهند که در همه ایستگاه‌ها امواج ۲ روزه فراوانی بیشتری را نسبت به دیگر روزها دارند.

برای فروانی‌های پیش‌بینی شده براساس مدل CSIRO-Mk۳-۶-۰ در تمام ایستگاه‌ها روندهای کاهشی معنی‌دار حاکم بوده و بالاترین ضربی تعیین این روندها مربوط به ایستگاه کیش (۰/۷۴) و کمترین آن مربوط به ایستگاه بندرعباس (۰/۴۵) است. با توجه به اینکه فراوانی امواج گرمایی پیش‌بینی شده با این مدل از ۲۰۴۰ تا اواسط دوره مورد نظر (۲۰۶۰) اعداد بزرگی را نمایش می‌دهد، با وجود روندهای کاهشی حاکم در تمام ایستگاه‌ها در مجموع تعداد کل امواج استخراج شده ایستگاه‌ها از داده‌های پایه بیشتر است. بیشترین امواج گرمایی پیش‌بینی شده مربوط به ایستگاه‌های بندرعباس، آبدان و بوشهر و کمترین موج گرمایی مربوط به ایستگاه بندرلنگه است. با توجه به این مدل هم ماه اوت و سپس ماه سپتامبر دارای بیشترین موج گرمایی و کمترین میزان در ماه آوریل خواهد بود (شکل ۳). در واقع امواج گرمایی دوره گرم سال بیشترین میزان را به خود اختصاص داده‌اند و بیشترین رخداد امواج گرمایی در این مدل موج‌های گرمایی کوتاه‌مدت می‌باشند.

روند امواج گرمایی استخراج شده با داده‌های پیش‌بینی شده با مدل CMCC-CESM نیز بجز برای ایستگاه آبدان در سایر ایستگاه‌ها کاهشی و معنی‌دار بوده است. بالاترین ضربی تعیین این روندها برای ایستگاه بندرعباس (۰/۵۶) و پایین‌ترین آن برای ایستگاه بوشهر (۰/۴) استخراج شده است. مدل CMCC-CESM تنها مدلی است که تعداد امواج پیش‌بینی شده با داده‌های آن از دوره پایه کمتر است. بیشترین موج گرمایی استخراج شده با این مدل مربوط به ماه ژوئیه و کمترین آن در ماه فوریه می‌باشد (شکل ۳). بیشترین رخداد امواج گرمایی در این مدل موج‌های گرمایی کوتاه‌مدت هستند که موج‌های دو روزه بیشترین سهم را در بین امواج‌های دیگر به خود اختصاص داده است.

برای شناسایی تفاوت بین فراوانی امواج گرمایی در دوره پایه و آینده از آزمون دانکن استفاده شده و براساس این آزمون در سطح  $0.05\%$  مشخص شد که بین امواج گرمایی داده‌های پایه و آینده هیچ‌گونه تفاوت معنی‌داری وجود ندارد.



شکل ۲: امواج گرمایی استخراج شده سالانه در داده‌های پایه و آینده



شکل ۳: امواج گرمایی استخراج شده ماهانه در داده پایه و آینده

تغییرات سالانه امواج گرمایی در دوره‌ی آینده نسبت به دوره‌ی پایه (جدول ۵) به این صورت است که فراوانی امواج گرمایی در دوره آینده برای ایستگاه‌های آبادان و بندرعباس در مدل‌های CanESM2 و CSIRO-Mk3-6-0، ایستگاه بوشهر در مدل‌های MPI-ESM-MR و CSIRO-Mk3-6-0 و ایستگاه بندرلنگه MPI-ESM-MR و CMCC-CESM نسبت به دوره پایه افزایش نشان می‌دهد اما ایستگاه کیش در تمام مدل‌های مورد بررسی با افزایش فراوانی امواج گرمایی در سال‌های آینده روبرو است.

جدول ۵: مقایسه امواج گرمایی استخراج شده در داده‌های آینده و پایه

کیش	بندرلنگه	بندرعباس	بوشهر	آبادان	مدل‌های آینده و پایه
۴۲۱	۳۸۰	۴۴۱	۳۷۶	۴۳۴	CanESM۲
۴۴۲	۴۱۴	۴۰۵	۴۲۳	۴۰۱	MPI-ESM-MR
۴۱۵	۳۸۸	۴۵۷	۴۲۰	۴۴۸	CSIRO-Mk۳-۶-
۴۴۲	۴۰۱	۳۸۲	۴۰۶	۳۸۷	CMCC-CESM
۳۹۹	۴۰۰	۴۱۰	۴۰۷	۴۳۰	پایه

تغییرات فصلی خروجی مدل‌های اقلیمی در مقایسه با داده‌های پایه در جدول ۶ آورده شده است. در ایستگاه آبادان فصل پاییز و زمستان دارای تغییرات زیادی است و میزان امواج گرمایی در سال‌های آینده در این دو فصل از دوره‌ی پایه بیشتر خواهد شد. در ایستگاه بوشهر امواج گرمایی فصل بهار دارای تغییرات زیادی است و بعد از فصل بهار امواج گرمایی فصل تابستان و زمستان بیشتر از دوره‌ی پایه خواهد بود. در ایستگاه بندرعباس در همه فصول به جزء فصل تابستان میزان امواج گرمایی بیشتر از دوره‌ی پایه خواهد شد. در ایستگاه بندرلنگه نیز امواج گرمایی فقط در فصل زمستان کاهش را نشان می‌دهد و در بقیه‌ی فصول امواج گرمایی نسبت به دوره‌ی پایه افزایش را نشان می‌دهد و در نهایت ایستگاه کیش در تمام فصول سال امواج گرمایی نسبت به دوره‌ی پایه بیشتر خواهد شد.

جدول ۶: تغییرات امواج گرمایی استخراج شده ایستگاه‌های سواحل شمالی خلیج فارس در مدل‌های تغییر اقلیم نسبت به امواج گرمایی دوره‌ی پایه

ایستگاه	فصل	درصد امواج گرمایی از کل داده‌های پایه	درصد امواج گرمایی از کل داده‌های آینده
آبادان	بهار	۳۰.۴۳	۲۴.۰۲
	تابستان	۲۹.۱۹	۲۷.۸۷
	پاییز	۱۷.۳۹	۲۲.۶۱
	زمستان	۲۲.۹۸	۲۵.۴۸
بوشهر	بهار	۲۱.۴۲	۲۴.۲۳
	تابستان	۲۵	۲۶.۲۱
	پاییز	۲۸.۵۷	۲۴.۸۲
	زمстان	۲۴	۲۵.۳۲
بندرعباس	بهار	۲۱.۷۳	۲۴.۷
	تابستان	۲۶.۸۱	۲۷.۰۱
	پاییز	۲۵.۸۱	۲۵.۱۷
	زمستان	۲۴.۱	۲۴.۶۳
بندرلنگه	بهار	۲۳.۵۵	۲۳.۷۴
	تابستان	۲۲.۳۳	۲۹.۸۲
	پاییز	۲۲.۷۴	۲۵.۸۱
	زمستان	۲۵.۱۷	۲۰.۸
کیش	بهار	۲۴.۷	۲۴.۸
	تابستان	۲۵.۵۳	۲۸.۳۲
	پاییز	۲۲.۳۵	۲۵.۲۱
	زمستان	۲۳.۱	۲۳.۸

### نتیجه‌گیری

در این پژوهش پس از ریزگردانی داده‌های مدل‌های اقلیمی، موج‌های گرمایی سواحل خلیج فارس در دو دوره ۳۵ ساله برای دوره‌های پایه و آینده مورد بررسی و شناسایی قرار گرفته است. در داده‌های پایه از سال ۱۹۸۰ تا ۲۰۱۴ بر فراوانی امواج گرمایی در منطقه مورد مطالعه افروده شده و در تمامی ایستگاه‌های مورد بررسی، روند افزایشی با ضرایب تعیین پایین ملاحظه شده است. همچنین تفاوت معنی‌داری بین میانگین تعداد امواج گرمایی بخش اول داده‌های پایه (۱۹۸۴ تا ۱۹۹۷) و بخش دوم آن (۱۹۹۷ تا ۲۰۱۴) ملاحظه شده و میانگین دوره دوم از دروہ اول بیشتر است. به عبارت دیگر در سالهای اخیر رخداد امواج گرمایی بیشتر شده است. این یافته‌ها، نتایج کارهای اسمعیل نژاد و همکاران (۱۳۹۲)، قویدل (۱۳۹۴) و عزیزی (۱۳۹۱) را تأیید می‌کند.

بر خلاف داده‌های پایه روند سری‌های زمانی و فراوانی امواج گرمایی در آینده برای تمام ایستگاه‌ها و تمام مدلها (جز دو مورد) کاهشی و معنی‌دار است. اما همانند داده‌های پایه ضرایب تعیین این روندها جز در موارد محدودی ناچیز است. در مجموع بجز در مدل CMCC-CESM در سایر مدلها، فراوانی امواج گرمایی استخراج شده برای ۳۵ سال آینده از ۳۵ سال پایه بیشتر است. این افزایش فراوانی امواج گرمایی در آینده نسبت به دوره پایه در تأیید نتایج کارهای روسو (۲۰۱۴)، دینگ و همکاران (۲۰۱۰) و کینگ و همکاران (۲۰۱۵) است. شاخص فومیاکی فوجیبه در استخراج امواج گرمایی به نوعی بر انحراف دما از میانگین زمانی بلند مدت همان زمان و همان مکان خاص استوار است و تقویت پرشمار جنب حاره‌ای در اثر افزایش گازهای گلخانه‌ای (Li, et al., ۲۰۱۲; Li, et al., ۲۰۱۱) و استقرار طولانی مدت‌تر و شدیدتر آن می‌تواند با وجود گرمایش بیشتر و فراگیرتر، این انحراف از میانگین را کاهش دهد. البته در این زمینه مطالعات بیشتر با مدلها و سناریوهای بیشتر توصیه می‌شود.

### منابع

- اسمعیل نژاد، مرتضی؛ محمود خسروی، بهلول علیجانی و سید ابوالفضل مسعودیان. ۱۳۹۲. شناسایی امواج گرمایی ایران. *فصلنامه جغرافیا و توسعه*, ۳۳: ۳۱-۵۴.
- درگاهیان، فاطمه و محسن رضایی. ۱۳۹۳. بررسی شرایط سینوپتیکی و بیوکلیماتولوژی شاخص گرما با استفاده از سیستم اطلاعات جغرافیایی در ایستگاه‌های ساحلی و دریایی جنوب و اثرات آن بر روی سلامت انسان. *فصلنامه علمی پژوهشی اطلاعات جغرافیایی*, ۹۱: ۵۴-۴۳.
- عزیزی، قاسم. ۱۳۸۳. *تغییر اقلیم*. نشر قومس، تهران.
- عزیزی، قاسم؛ علی اکبر شمسی‌پور و مرتضی میری. ۱۳۹۱. واکاوی همدیدی ارتباط آتش‌سوزی‌های ماه ژوئیه ۲۰۱۰ روسیه و سیل پاکستان. *جغرافیا و توسعه*, ۲۹، زمستان ۱۳۹۱: ۱۴۴-۱۳۱.
- قویدل‌رحیمی، یوسف. ۱۳۹۴. تحلیلی از مخاطره اقلیمی امواج ابر گرم سال ۱۳۸۹ استان خوزستان. *جغرافیا و برنامه ریزی*, ۵۱: ۳۰۹-۲۸۹.
- کیانی، کورش. ۱۳۸۹. روشی نوین از کاربرد شبکه‌های عصبی مصنوعی در پیش‌بینی جریان ناشی از موج عبور روى موج‌شکن مستعرق. پایان نامه برای دریافت درجه کارشناسی ارشد در رشته مهندسی عمران گرایش سارهای دریایی، دانشگاه هرمزگان، دانشکده فنی.

- مسعودیان، سید ابوالفضل و محمد دارند. ۱۳۹۰. تحلیل همیدی سرماهای فرین. *جغرافیا و توسعه*, ۲۲: ۱۸۵-۱۶۵.
- Fujibe, F., Yamazaki, N., Kobayashi, K., and Nakamigawa, H. ۲۰۰۷. long-term changes of temperature extremes and day-to-day variability in Japan, papers in Meterology and Geophysics, ۵۸: ۷۲-۶۳.
- Grübler, A., O'Neill, B., Riahi, K., Chirkov, V., Goujon, A., Kolp, P., ... and Slentoe, E. ۲۰۰۷. Regional, national, and spatially explicit scenarios of demographic and economic change based on SRES. *Technological Forecasting and Social Change*, 74(7): ۱۰۲۹-۹۸۰.
- Hayhoe, K., Sheridan, S., Kalkstein, L., and Greene, S. ۲۰۱۰. Climate change, heat waves, and mortality projections for Chicago. *Journal of Great Lakes Research*, 36: ۷۳-۶۵.
- Hoogwijk, M., Faaij, A., de Vries, B., and Turkenburg, W. ۲۰۰۹. Exploration of regional and global cost-supply curves of biomass energy from short-rotation crops at abandoned cropland and rest land under four IPCC SRES land-use scenarios. *Biomass and Bioenergy*, 32(1): ۴۳-۲۶.
- Hoogwijk, M., Faaij, A., Eickhout, B., de Vries, B., and Turkenburg, W. ۲۰۰۰. Potential of biomass energy out to ۲۱۰۰, for four IPCC SRES land-use scenarios. *Biomass and Bioenergy*, 29(4): ۲۰۷-۲۲۰.
- IPCC, ۲۰۰۷: Summary for Policymakers. *Climate Change ۲۰۰۷: The Physical Science Basis*. Solomon, S., Qin, D., Manning, M., Chen, Z., Marquis, M., Averyt, K.
- Karl, T. R., and Knight, R. W. ۱۹۹۷. The ۱۹۹۰ Chicago heat wave: How likely is a recurrence?, *Bulletin of the American Meteorological Society*, 78(6): ۱۱۱۹-۱۱۰۷.
- Kim, D. W., Deo, R. C., Chung, J. H., and Lee, J. S. ۲۰۱۷. Projection of heat wave mortality related to climate change in Korea. *Natural Hazards*, 80(1): ۶۳۷-۶۲۳.
- Koppe, C., Kovats, S., Jendritzky, G., and Menne, B. ۲۰۰۴. Heat-waves: risks and responses. *Health and Global Environmental Change Series*, no. ۱. World Health Organization.
- Kripalani, R. H., and Kulkarni, A. ۱۹۹۸. The relationship between some large-scale atmospheric parameters and rainfall over Southeast Asia: A comparison with features over India. *Theoretical and Applied Climatology*, 59(1): ۱۱-۱۱.
- Li, W., Li, L., Ting, M., and Liu, Y. ۲۰۱۲. Intensification of Northern Hemisphere subtropical highs in a warming climate. *NATURE GEOSCIENCE*, VOL 5: ۸۳۰-۸۳۴.
- Li, W., Li, L., Fu, R., Deng, Y., Wang, H. ۲۰۱۱. Changes to the North Atlantic Subtropical High and Its Role in the Intensification of Summer Rainfall Variability in the Southeastern United States. *Journal of Climate*, 24(5): ۱۰۰۷-۱۹۹۱.
- Mokhov, I. I., and Chernokulsky, A. V. ۲۰۱۰. Regional model assessments of forest fire risks in the Asian part of Russia under climate change. *Geography and Natural Resources*, 31(2): ۱۶۰-۱۶۹.
- Murphy, J. ۱۹۹۹. An evaluation of statistical and dynamical techniques for downscaling local climate. *Journal of Climate*, 12(8): ۲۲۸۴-۲۲۰۶.
- NOAA (۲۰۰۷). *Natural Hazard Statistics*. National Oceanic and Atmospheric Administration.
- Räisänen, J., Hansson, U., Ullerstig, A., Döscher, R., Graham, L. P., Jones, C., ... and Willén, U. ۲۰۰۴. European climate in the late twenty-first century: regional simulations with two driving global models and two forcing scenarios. *Climate dynamics*, 22(1): ۳۱-۱۲.
- Russo, S., Dosio, A., Graversen, R. G., Sillmann, J., Carrao, H., Dunbar, M. B., ... and Vogt, J. V. ۲۰۱۴. Magnitude of extreme heat waves in present climate and their projection in a warming world. *Journal of Geophysical Research: Atmospheres*, 119(22): ۱۲۰۱۲-۱۲۰۰۰.
- Schär, C., Vidale, P. L., Lüthi, D., Frei, C., Häberli, C., Liniger, M. A., and Appenzeller, C. ۲۰۰۴. The role of increasing temperature variability in European summer heatwaves. *Nature*, 427(6972): ۳۳۶-۳۳۲.

Ding, T., Qian, W., and Yan, Z. ۲۰۱۰. Changes in hot days and heat waves in China during ۱۹۷۱–۲۰۰۷. *International Journal of Climatology*, ۳۰(۱۰). ۱۴۵۲–۱۴۶۲.

Archive of SID